

Рис. 1. Схема АО-ячейки с возбуждением звука замедляющей системой в планарном исполнении

достаточно велика. Разработанная акустооптическая ячейка позволяет осуществить частотное разрешение  $\sim 100$  кГц и является основой для создания спектроанализатора радиосигналов в диапазоне 100–300 МГц с частотным разрешением  $\sim 250$  кГц.

#### ЛИТЕРАТУРА

1. Ежов В. А., Тарасов Л. В. Акустооптическая обработка радиосигналов//Зарубеж. электрон.—1982.—№ 7.
2. Григорьев М. А., Петров В. В., Толстиков А. В. Эффективность многоэлементных электроакустических преобразователей, обеспечивающих автоподстройку звукового пучка//Применение акустооптических методов и устройств в промышленности.—Л., 1984.

Поступило в редакцию 18 сентября 1984 г.

УДК 621.374.3

Р. В. БОЙКО, В. А. КОМАРОВ, Ю. Ф. КУТАЕВ, В. Т. МАЛИКОВ

(Винница)

#### БЫСТРОДЕЙСТВУЮЩИЙ ИЗМЕРИТЕЛЬ КООРДИНАТ ТОЧЕЧНЫХ ИСТОЧНИКОВ СВЕТА

Дальнейшее развитие систем автоматического распознавания для автоматизации научных исследований, систем зрения промышленных роботов и ряда других прикладных задач требует разработки быстродействующих и эффективных оконечных устройств обработки изображений. В статье описан измеритель координат точечных источников света для определения координат корреляционного пика в корреляторе Вандер Лютга.

При практической реализации автоматического распознавания в когерентно-оптических системах возникает проблема быстрой регистрации и обработки световой картины в выходной плоскости коррелятора. Обычно картина состоит из яркого корреляционного пика на темном, запущленном спекл-шумом поле. Амплитуда корреляционных пиков в 2–10 раз превышает амплитуду случайных спекл-шумовых выбросов. Геометрический размер корреляционных пиков зависит от многих параметров (угол поворота распознаваемого объекта, изменение масштаба и т. д.), но в идеальном случае задается в основном фокусным расстоянием линзы, осуществляющей обратное преобразование Фурье, и длиной волны света, используемого в

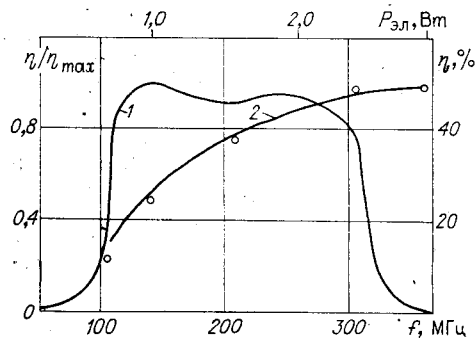
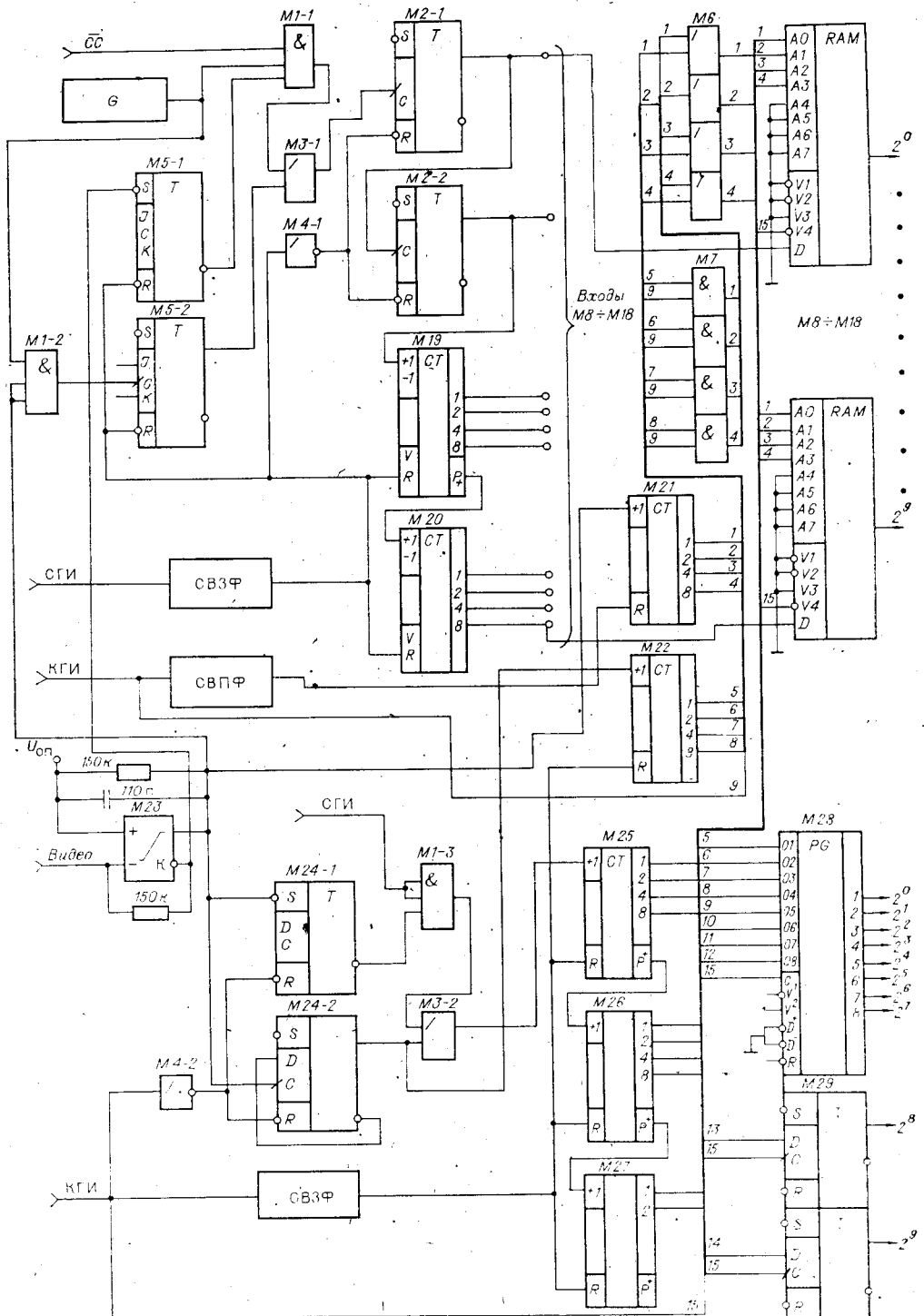


Рис. 2. Амплитудно-частотная характеристика (1), зависимость дифракционной эффективности (2) от импульсной электрической мощности

импульсной электрической мощности (скважность  $\sim 40$ ). В точках апертуры, близких к преобразователю, в импульсном режиме ( $P_{\text{эл}} = 4$  Вт) получено значение  $\eta = 80\%$ . Кривая 2 показывает усредненное значение  $\eta$  для апертуры светового пучка  $1 \times 20$  мм. Видно, что хотя сказывается затухание звука по апертуре, дифракционная эффективность



Принципиальная схема быстродействующего измерителя координат точечных источников света:

M1 — 531ЛН3П; M2, M5 — 531ТВ9П; M3 — 531ЛЕ1П; M4 — 155ЛН1; M6 — 155ЛН1; M7 — 155ЛИ1; M8 — M18 — 155РУ5; M19 — M22, M25 — M27 — 155ИЕ7; M23 — 597СА2; M24, M29 — 155ТМ2; M28 — 155ИР13

корреляторе. В нашем случае он составлял величину порядка  $\Delta l \simeq (200-400)$  мкм, т. е. мог считаться точечным источником света.

Для решения подобных задач уже созданы системы на основе высокоразрешающих ЭЛТ в сочетании со специализированными мини-ЭВМ [1]. Однако при применении сканирующих приборов в качестве первичных измерительных преобразователей определенную трудность представляет задача определения координат центра точечного источника за один кадр (цикл) сканирования.

В известном способе [2] подобная задача решается за два кадра, причем в первом кадре определяется координата строки, на которой находится центр в направлении кадровой развертки, а во втором по определенной в предыдущем кадре строке — в направлении строчной развертки.

Рассмотрим работу предлагаемого устройства. Видеосигнал, поступающий с передающей телевизионной камеры, превращается в двухградационный видеоимпульс. В качестве сигналов управления используются строчные гасящие импульсы (СГИ), кадровые гасящие импульсы (КГИ) и синхросмесь (СС) камеры. Вертикальная координата определяется путем подсчета СГИ до появления видеосигнала от точечного источника света в строке, затем через один при наличии видеосигнала в строке, с его окончанием счет прекращается. Для определения горизонтальной координаты при появлении видеосигнала в строке подсчитывается число тактовых импульсов подряд с момента начала строки до появления видеосигнала в строке, затем через один во время действия видеосигнала, и с его окончанием счет прекращается. Подсчитанные текущие значения координат со всех строк, которые занимает видеосигнал, заносятся в ОЗУ. По окончании кадра за время обратного хода кадровой развертки происходит считывание горизонтальной координаты с того адреса ОЗУ, который совпадает с вертикальной координатой центра точечного источника.

На рисунке приведена принципиальная схема измерителя. Он содержит компаратор ( $K$ ) ( $M23$ ) для преобразования видеосигнала в двухградационный видеоимпульс, где опорное напряжение  $U_{op}$ , выбранное из условия устойчивой работы определителя, примерно равно половине размаха видеосигнала. Канал обработки вертикальной координаты  $Y$  содержит триггер управления  $T(M24-1)$ , делитель ( $M24-2$ ), логический элемент ИЛИ ( $M3-2$ ), счетчик СТ ( $M25 - M27$ ), регистр ( $M28$ ), который дополнен до десяти двоичных разрядов триггерами ( $M29$ ), и схему выделения заднего фронта (СВЗФ). С началом каждого кадра происходит сброс счетчиков задним фронтом КГИ. В последовательно соединенных счетчиках СТ суммируются СГИ до появления видеосигнала точечного источника. Первый видеоимпульс, который появляется на выходе компаратора, перебрасывает триггер управления ( $M24-1$ ) в единичное состояние, и его инверсный выход закрывает схему совпадения И ( $M1-3$ ). Теперь в счетчиках суммируются через один видеоимпульсы от точечного источника света. Таким образом, к концу кадра в счетчиках записывается вертикальная координата центра светового пятна (в направлении кадровой развертки), и передним фронтом КГИ она будет переписана в регистр считывания ( $M28, M29$ ).

Канал обработки горизонтальной координаты  $X$  содержит генератор тактовых импульсов  $G$ , триггер управления ( $M5-1$ ), делитель ( $M5-2$ ), счетчик ( $M2, M19, M20$ ). СВЗФ, логические элементы И ( $M1$ ) и ИЛИ ( $M3-1$ ). Эта часть схемы работает аналогично описанной ранее, только цикл повторяется для каждой строки.

Отличием канала  $X$  являются организация в нем ОЗУ на 2,56 Кбит (256 слов  $\times 10$  разрядов) с системой управления: два счетчика ( $M21, M22$ ), логические схемы ИЛИ ( $M6$ ), логические схемы совпадения И ( $M7$ ), ОЗУ ( $M8 - M18$ ) и схема выделения переднего фронта (СВПФ) КГИ. Причем счетчик  $M21$  определяет адрес записи текущей координаты в ОЗУ,  $M22$  — адрес считывания в конце кадра, поскольку в нем суммируются видеоимпульсы в режиме, через один.

Элементы устройства  $M5, M1, M3, M2$  выполнены на быстродействующей серии 531, компаратор  $M23$  — микросхема 597СА2, все остальные элементы серии 155.

Измеритель работал с телевизионными камерами с прогрессивной разверткой. За время кадра формировался растр из 625 строк, при этом погрешность не превышала 0,3% в направлении кадровой развертки. В горизонтальном направлении точность была выше, так как применяемый тактовый генератор ( $F_t = 30$  МГц) позволял получить 800 элементов разложения в строке.

Описанный измеритель использовался в динамическом корреляторе в качестве детектора корреляционного пика. Приведенные испытания показали, что он достаточно прост в обращении и, легко стыкуясь с управляющей мини-ЭВМ, позволяет реализовать замкнутую следящую систему. Коррелятор работал в реальном масштабе времени, быстродействие системы составляло 20 мс, при этом погрешность измерения координат центра корреляционного пика с учетом шумов видикона, дающего погрешность порядка 0,1%, не превышала 0,4% по обеим координатам.

## ЛИТЕРАТУРА

1. Бондаренко Ю. В., Будцев В. Я., Касперович А. Н. Системы для регистрации и ввода в ЭВМ одномерных изображений слабосветящихся объектов и быстро протекающих процессов//Автометрия.—1983.—№ 4.
2. А. с. 530476 (СССР). Способ автоматического измерения координат центра пятна/Бойко Б. Н.—Опубл. в БИ., 1976, № 36.

Поступило в редакцию 11 ноября 1984 г.